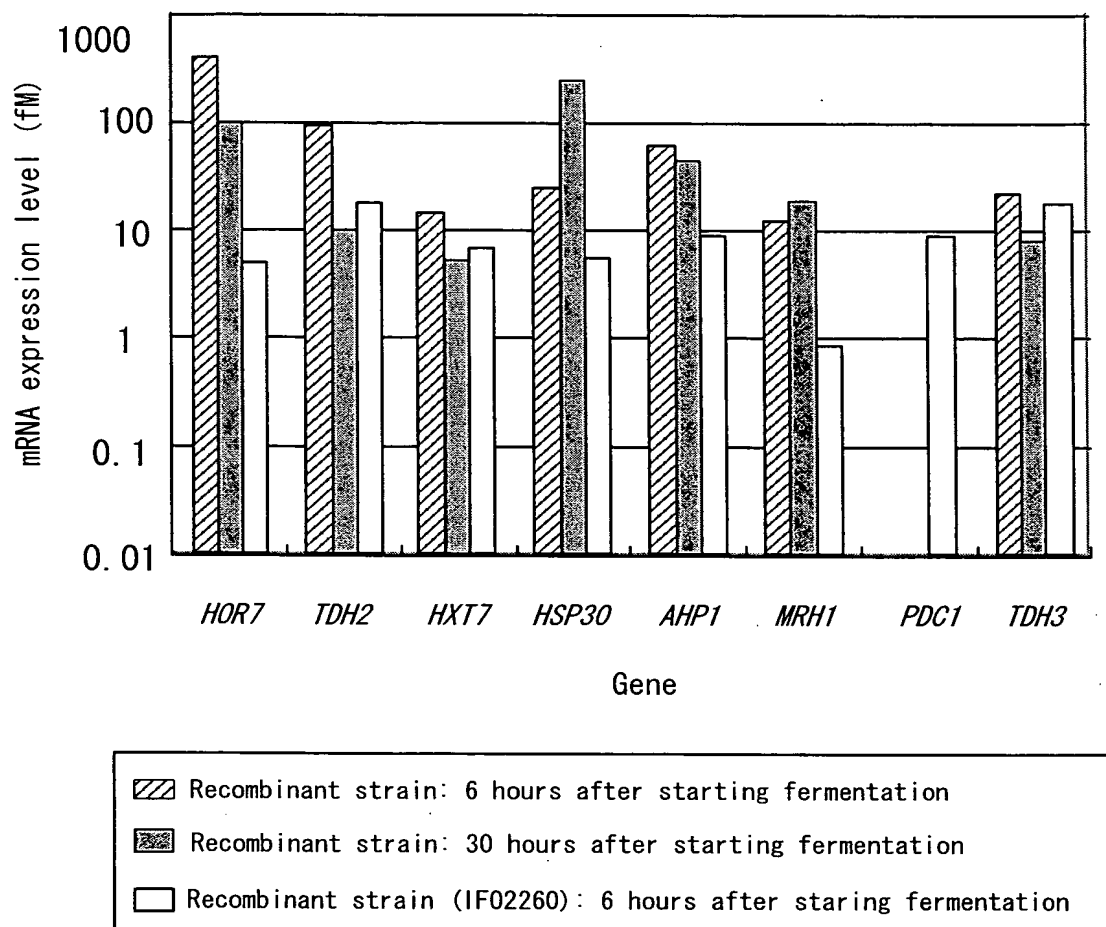


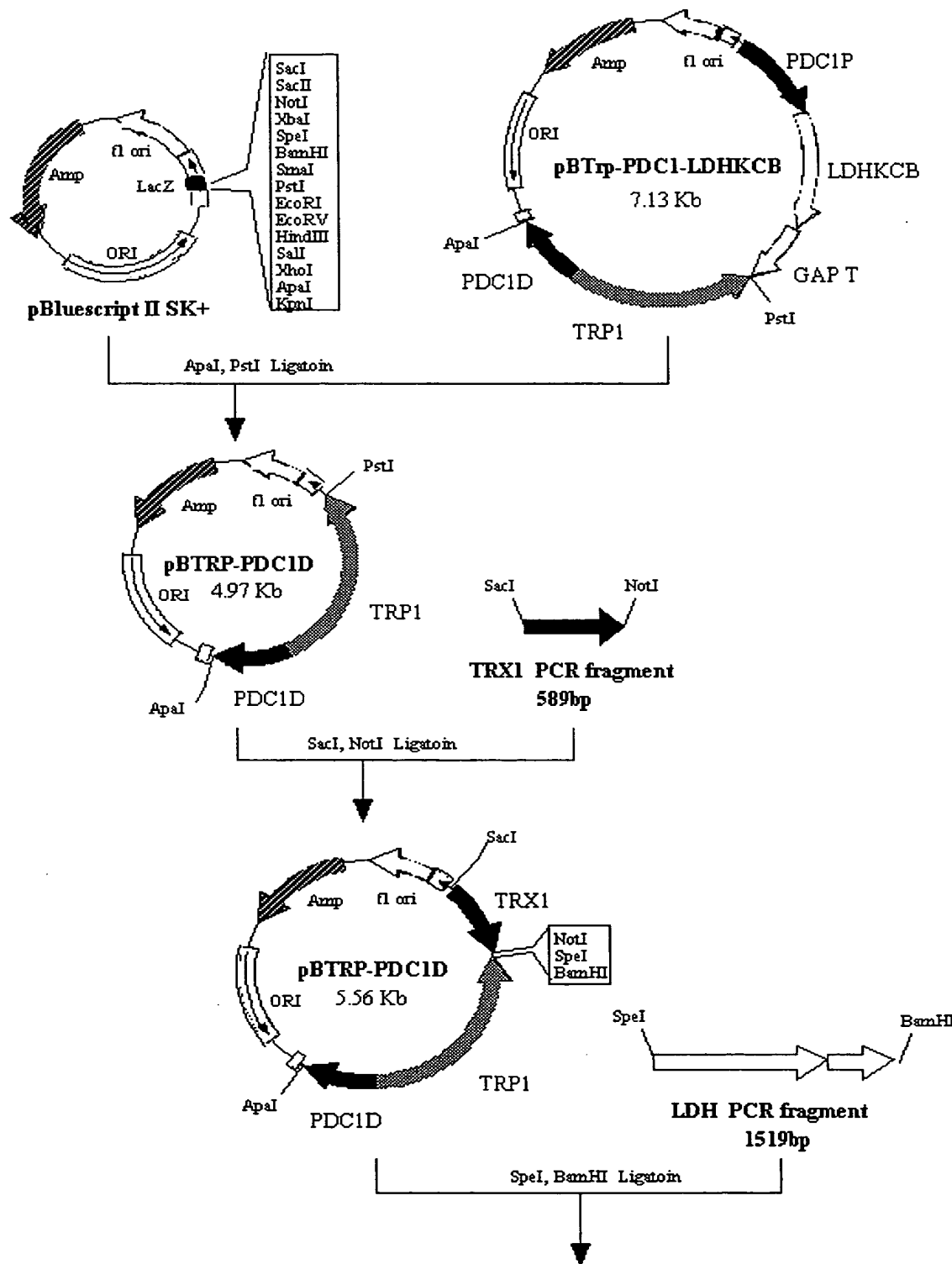
1/10

Fig. 1



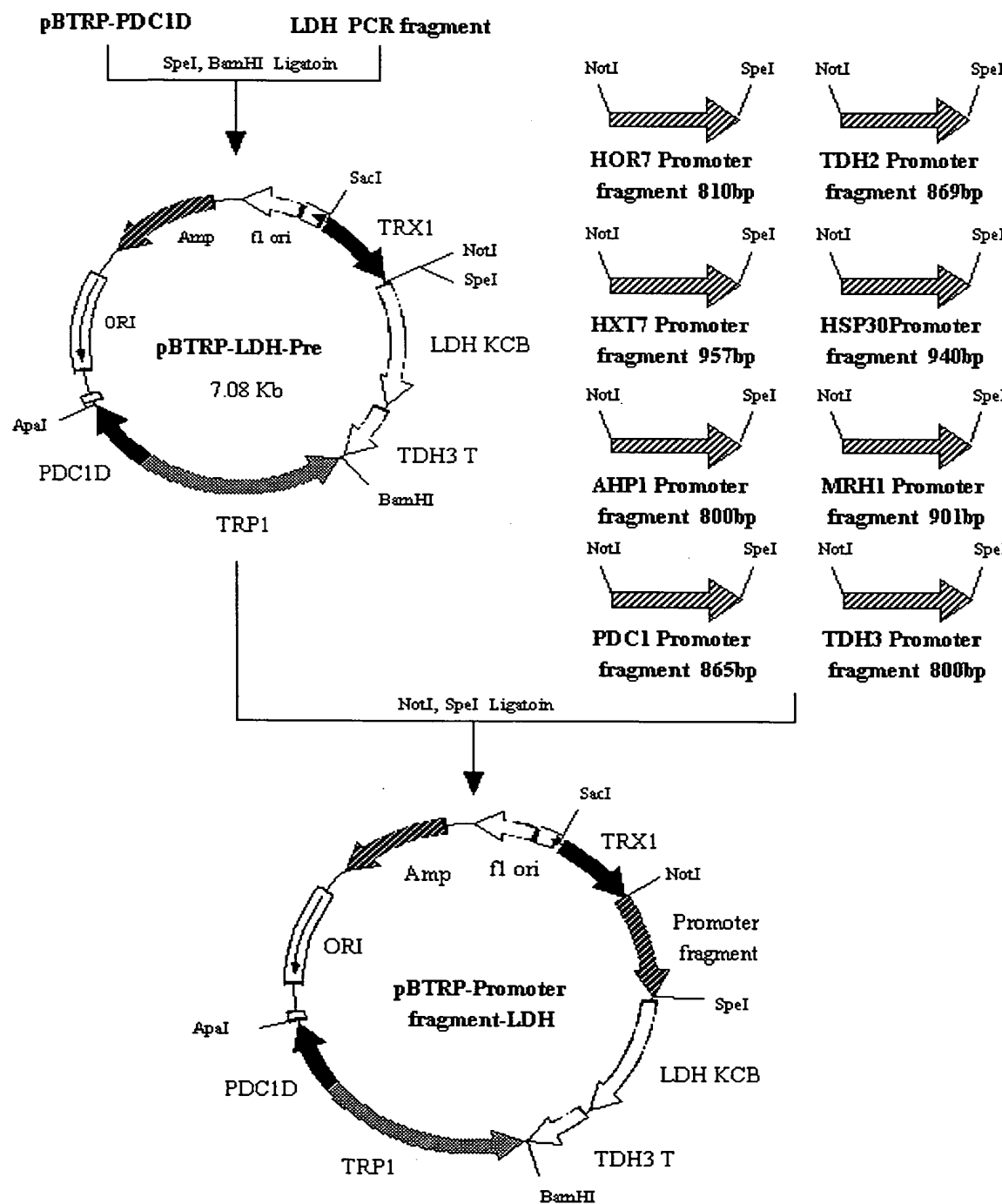
2/10

Fig. 2



3/10

Fig. 3



4/10

Fig. 4

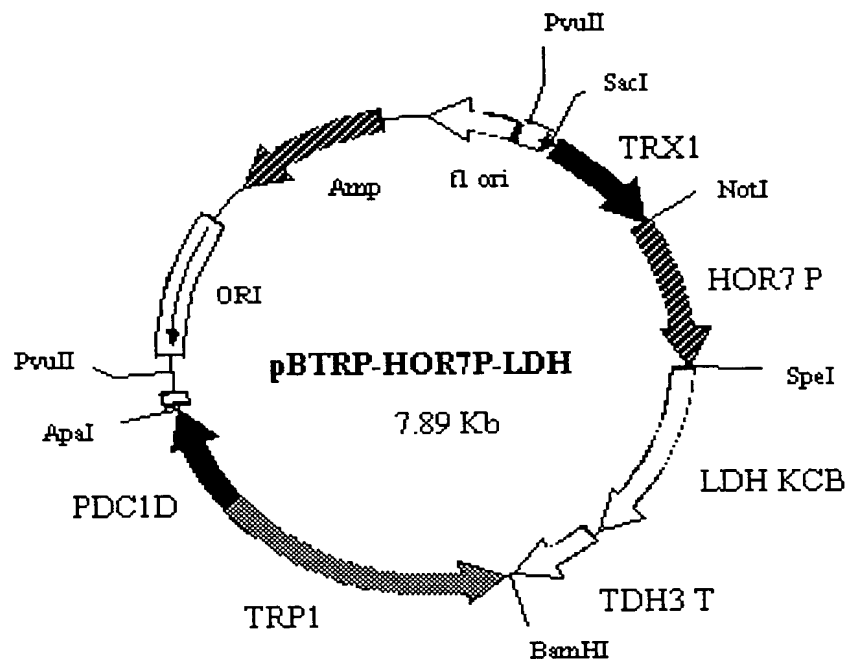
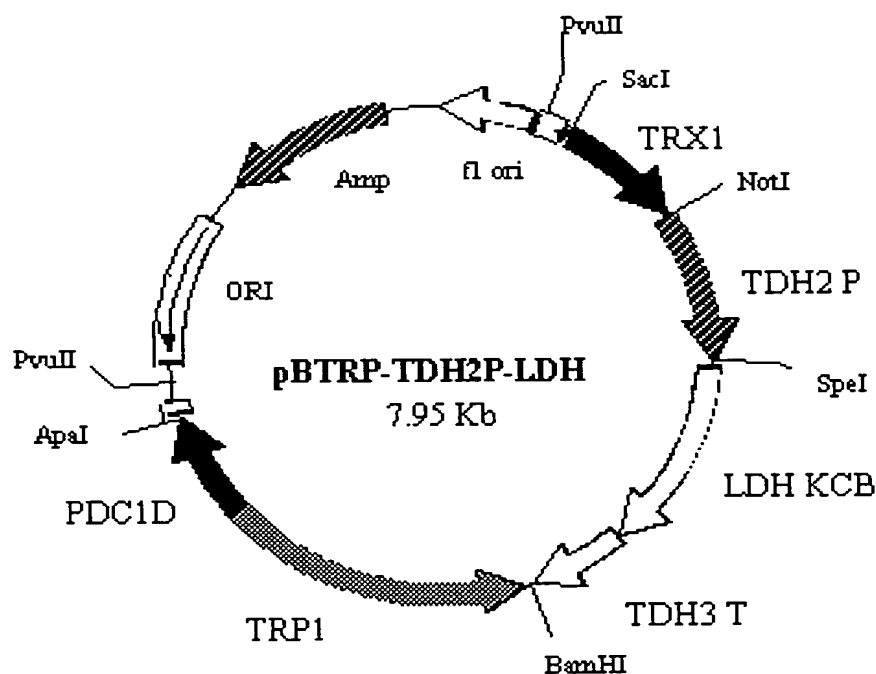


Fig. 5



5/10

Fig. 6

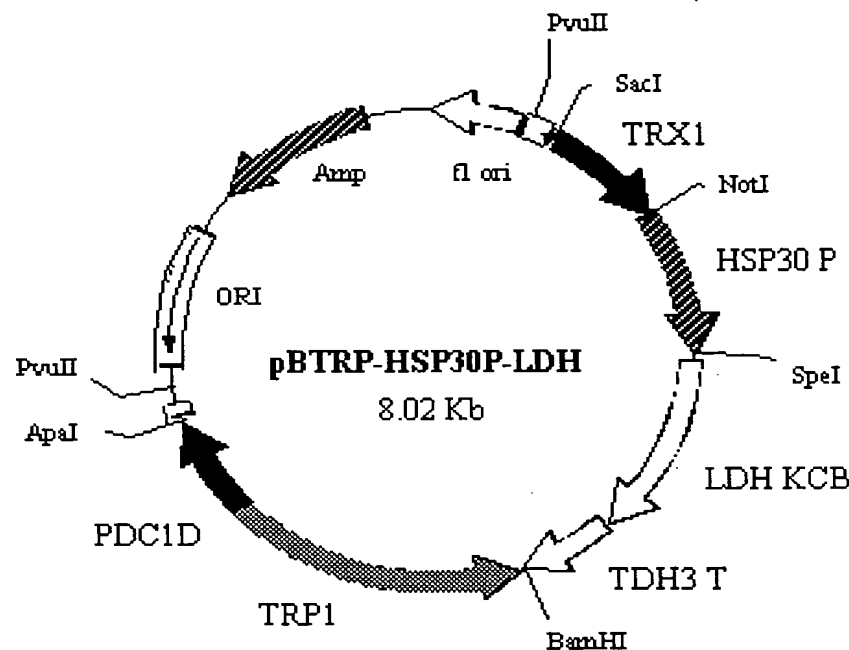
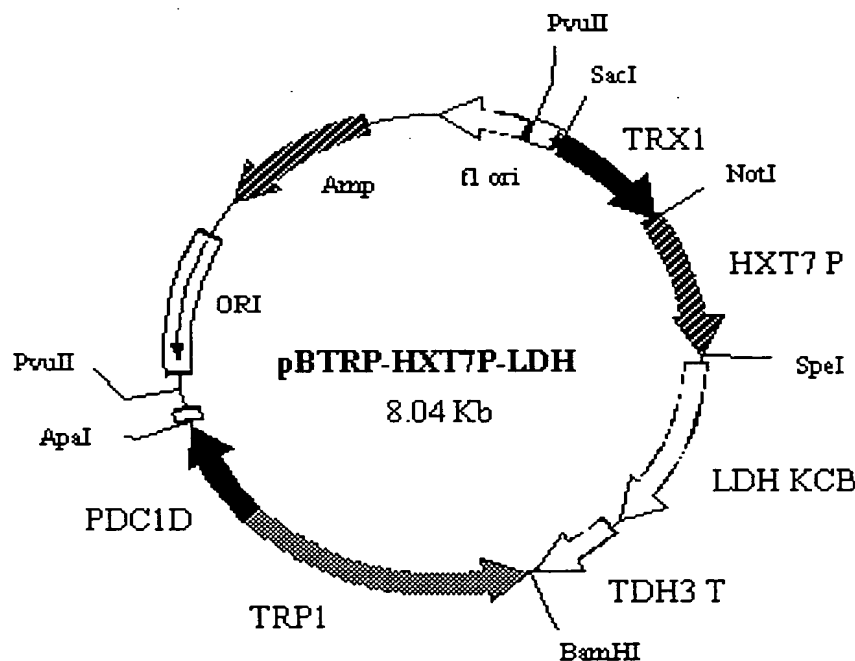


Fig. 7



6/10

Fig. 8

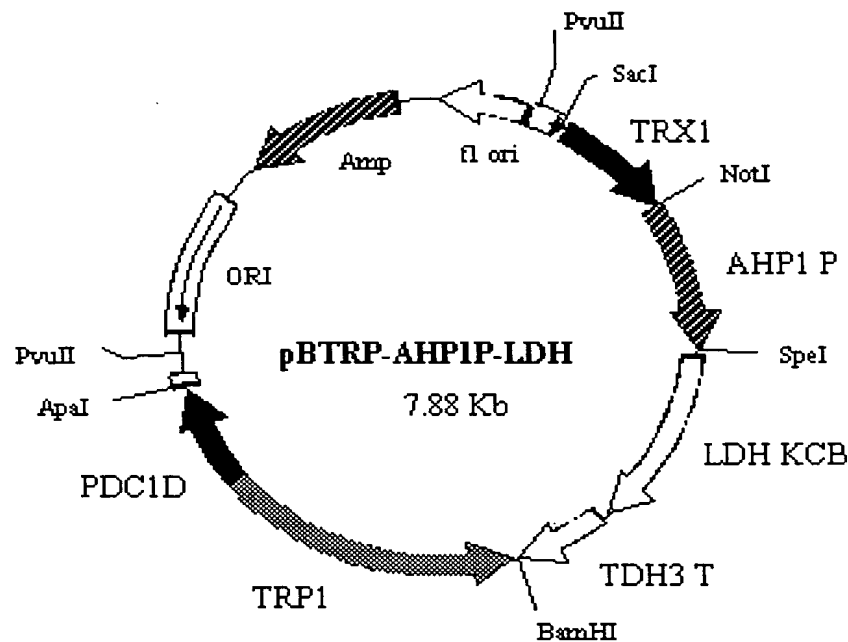
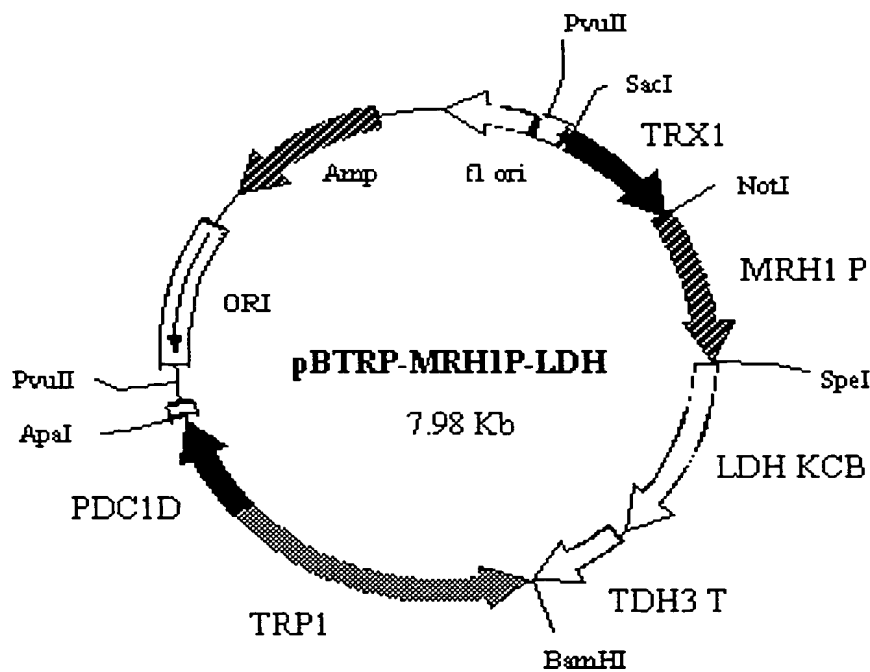


Fig. 9



Oblon, Spivak, et al.
703-413-3000
Docket # 290578US0XPCT
Sheet 7 of 10

7/10

Fig. 10

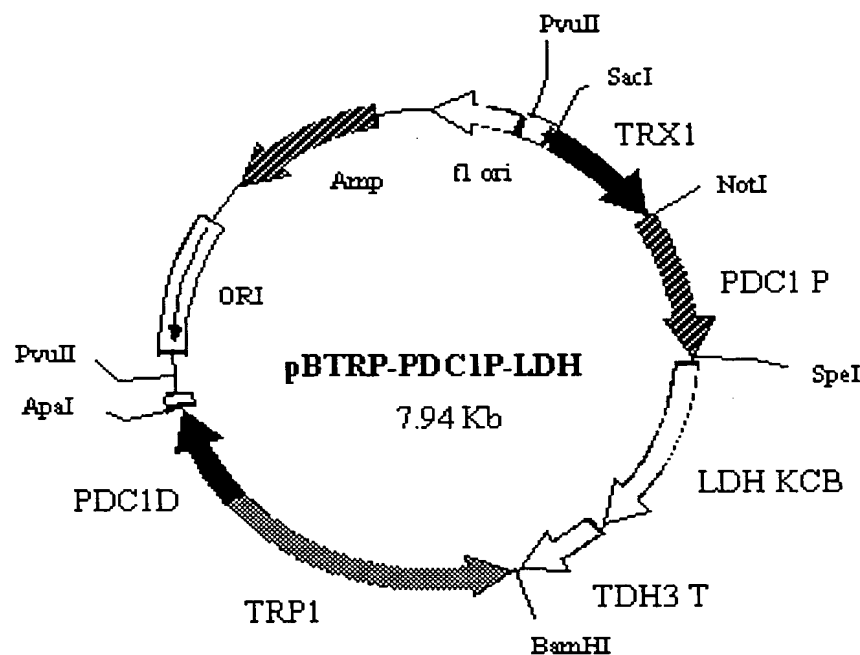
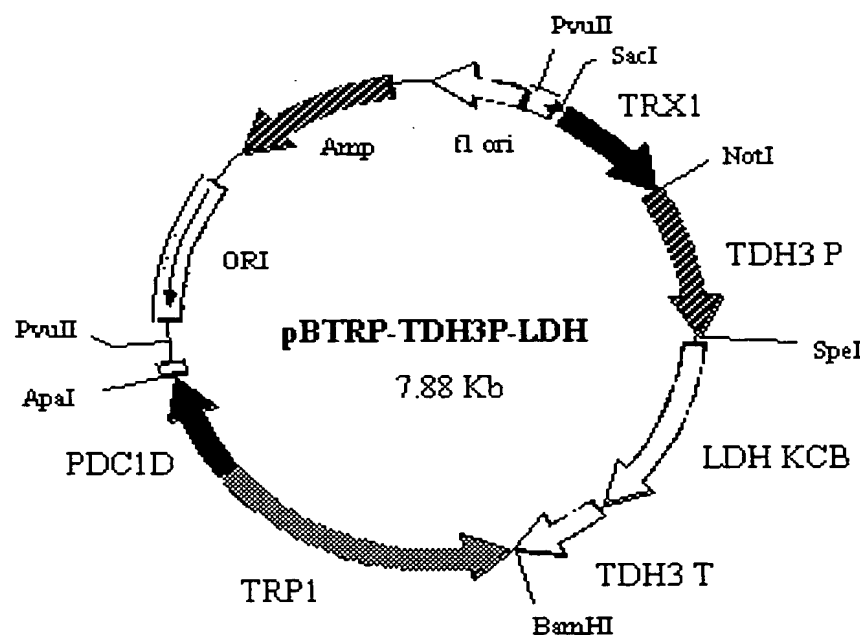


Fig. 11



8/10

Fig. 12

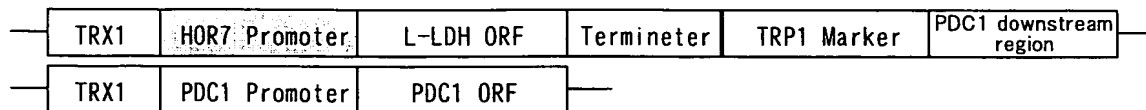


Fig. 13

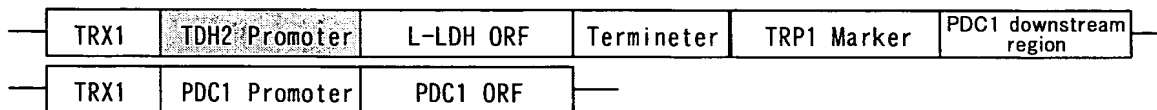


Fig. 14

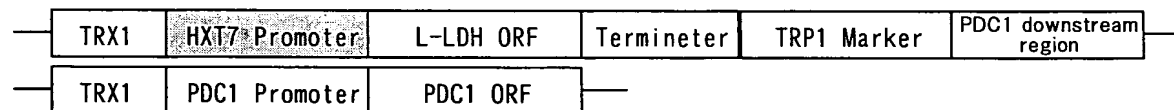


Fig. 15

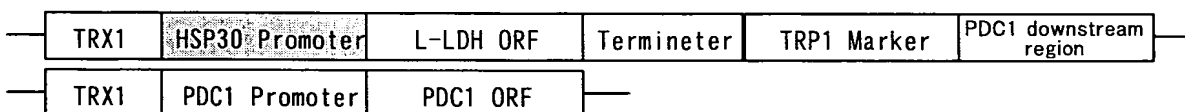


Fig. 16

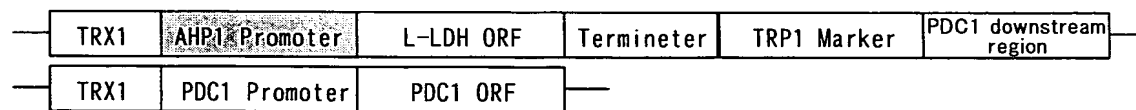


Fig. 17

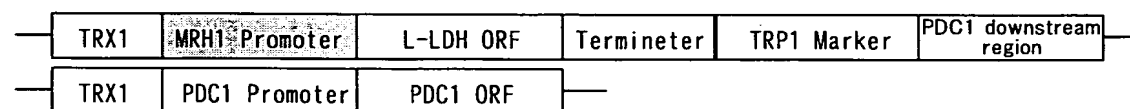
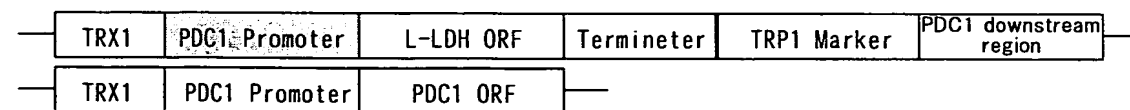


Fig. 18



9/10

Fig. 19

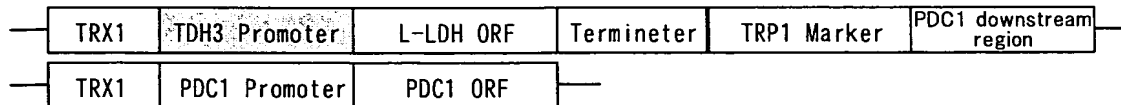


Fig. 20

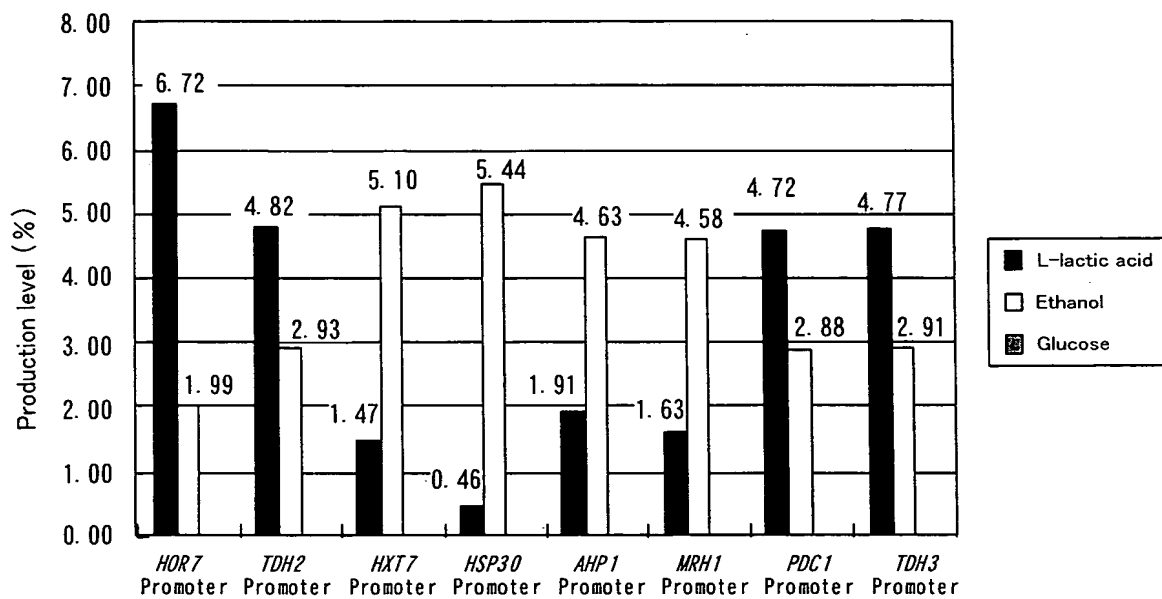


Fig. 21

